

**Research Paper**

# Uncertainty Approach in Layout Design of Satellite Subsystems Considering Natural Frequency Constraints

**M. Habibi<sup>1</sup>, M. Fakoor<sup>2\*</sup>, H. Parviz Nowruzani<sup>3</sup>**

1,2. Faculty of New Science and Technologies, University of Tehran, Tehran, Iran

3. Faculty of New Science and Technologies, University of Tehran, and Iranian Space Research Center,  
Tehran, Iran

\*mfakoor@ut.ac.ir

*In this research, to investigate the effects of uncertainties on the natural frequency of satellite systems attributed to the variation of layout components, the optimal layout of the satellite is performed utilizing the particle swarm optimization (PSO) algorithm, considering stability and geometrical constraints. To produce random samples, enough results will be extracted, which are the mass center of components, and based on the outputs, the finite element modeling of different samples by considering mass points is carried out. After modal analysis, mass and stiffness matrices are extracted, the simulation of Monte - Carlo runs based on Wishart random matrix theory and the eigenvalues of the matrix, i.e., natural frequencies, are obtained. The probabilistic distribution of natural frequencies is shown that in the proposed layout, the distribution of samples is very low, and the variation of natural frequency is robust to the proposed optimal location.*

**Keywords:** Satellite subsystems, optimal layout, Wishart random matrix theory, natural frequency, Monte-Carlo simulation

---

1. M.Sc.  
2. Associate Professor (Corresponding Author)  
3. M. Sc.

## مقاله علمی - پژوهشی

# رویکرد عدم قطعیت در طراحی جانمایی زیرسامانه‌های ماهواره با درنظر گرفتن قیود فرکانس طبیعی

مونا حبیبی<sup>۱</sup>، مهدی فکور<sup>۲\*</sup> و هادی پرویز نوروزانی<sup>۳</sup>

۱- دانشکده علوم و فنون نوین، دانشگاه تهران، تهران، ایران

۳- دانشکده علوم و فنون نوین، دانشگاه تهران، پژوهشگاه فضایی ایران، تهران، ایران

\*mfakoor@ut.ac.ir

به منظور بررسی عدم قطعیت در فرکانس‌های طبیعی سامانه‌ی ماهواره نسبت به تعییر جانمایی اجزا، ابتدا جانمایی بهینه اجزا یک ماهواره نمونه با هدف کمینه کردن ممان‌های اینرسی اصلی با استفاده از الگوریتم تجمع ذرات بالحاظ قیود کنترلی و هندسی انجام می‌شود. برای تولید نمونه‌های تصادفی، از این الگوریتم به تعداد کافی خروجی گرفته می‌شود که خروجی‌ها همان مختصات مرکز جرم اجزا برای جانمایی می‌باشند و براساس خروجی‌ها، مدل سازی المان محدود نمونه‌ها با در نظر گرفتن اجزا به صورت جرم متمرکز، برای جانمایی‌های مختلف انجام می‌گیرد. پس از تحلیل مودال نمونه‌ها و استخراج ماتریس جرمی و سختی، شبیه‌سازی مونت کارلو براساس تئوری ماتریس تصادفی و یشارات انجام می‌گیرد و مقادیر ویژه ماتریس‌ها که همان فرکانس‌های طبیعی است، به دست می‌آید. در نهایت توزیع احتمالاتی فرکانس‌های طبیعی شبیه‌سازی شده به دست می‌آید. این توزیع شبیه‌سازی شده نشان می‌دهد که در چیزمان ارائه شده توزیع نرمال بوده و میزان پراکندگی نمونه‌ها بسیار کم است و تعییرات فرکانس طبیعی نسبت به جانمایی بهینه ارائه شده ناچیز است.

**واژه‌های کلیدی:** زیرسامانه‌های ماهواره، جانمایی بهینه، تئوری ماتریس تصادفی و یشارات، فرکانس طبیعی، شبیه‌سازی مونت کارلو

## علائم و اختصارات

$d$	قطر مخزن سوخت (دایره داخلی)	
$G$	ماتریس استخراج شده از المان محدود	
$g_i$	تعداد قیود	طول اجزا
$h_i$	ارتفاع اجزا	عرض اجزا
$H_t$	ارتفاع کل ماهواره	ماتریس مستهلک کننده میانگین
$H_1$	ارتفاع طبقه اول از نقطه مرجع	میانگین
$H_2$	ارتفاع طبقه دوم از نقطه مرجع	قطر بدنه ماهواره
$I_{xx}$	ممان اینرسی اصلی حول محور $x$	
$I_{yy}$	ممان اینرسی اصلی حول محور $y$	
$I_{zz}$	ممان اینرسی اصلی حول محور $z$	
$K$	ماتریس سختی میانگین	

۱. کارشناسی ارشد

۲. دانشیار (تویسندۀ مخاطب)

۳. کارشناس ارشد

جانمایی بهینه نقش کلیدی در عملکرد، طول عمر، ساختار، نحوی تعمیر و نگهداری سامانه‌های ماهواره دارد و این طراحی همواره با چالش‌هایی مواجه بوده است. پیچیدگی محاسبات، پیچیدگی‌های سامانه‌ای و عملکردی جنبه‌های چالش برانگیز طراحی جانمایی ماهواره است [۵]. برای مثال الزامات مختلفی ازجمله دسترسی مناسب به اجزاء، نوع سازه و بدنه، نوع پرتابگر و فصل مشترک زیرسامانه‌های مختلف با یکدیگر باید در طراحی رعایت گردد. همچنین در طراحی جانمایی باید فاکتورهای مختلفی مانند محموله، موقعیت مرکز جرم مورد نظر ماهواره، ممان اینرسی، الزامات سامانه‌ای و کنترلی به‌طور هم‌زمان برآورده شوند [۶]. فرآیند طراحی جانمایی به سه گروه اصلی شامل روش تجربی، تعامل انسان و کامپیوتر و طراحی جانمایی به صورت سه‌بعدی تقسیم می‌شود [۷]. با توجه به مشکلات موجود در طراحی جانمایی نظری مدل نمودن ریاضی قیود و اهداف طراحی جانمایی، محاسبه‌ی کارآمدی قیود و جستجوی بهینه‌سازی متناسب برای طراحی جانمایی بهینه [۸] الگوریتم‌های مختلفی با در نظر گرفتن قیود پیشنهاد شده اند. از آن جمله می‌توان به الگوریتم ژنتیک [۹]، الگوریتم مورچگان، الگوریتم‌های تکاملی و ترکیبی، الگوریتم تجمع ذرات [۱۰-۱۷]، همچنین روش‌هایی مانند بهینه‌سازی عدد صحیح [۱۸]، استفاده از روش نمونه‌گیری وانگ لاندو [۱۹]، ارائه الگوریتم ابداعی فرآکام [۲۰]، ابزار خودکار SCALE در جانمایی [۲۱] و ابزار بهینه‌سازی برای مدل‌سازی [۲۲]، اشاره نمود. در تحقیقات گذشته قیود مختلفی در جانمایی در نظر گرفته شده است. از آن جمله می‌توان به قیود رفتاری [۲۳]، قیود عدم تداخل [۶]، محدودیت‌های هندسی [۲۴-۲۵]، محدودیت مرکز جرم سامانه، قیود ممان‌های اینرسی و عملکرد دینامیکی اشاره کرد. همچنین پدیده‌های دیگری مانند عملکرد حرارتی، سازگاری الکترومغناطیسی، قابلیت نگهداری و دسترسی به اجزا [۲۶]، قیود فرکانس طبیعی [۲۷] و قید کاهش شدت مغناطیسی در مگنتومتر [۲۸] در نظر گرفته شده است. در مراجع گذشته تمرکز اصلی بر روی کاهش محاسبات و یافتن جانمایی بهینه بوده است.

اگرچه در مطالعات پیشین هدف ارائه الگوریتمی برای یافتن پاسخ بهینه جانمایی اجزا با ارضای قیود مختلف بوده است، اما پاسخ الگوریتم‌های تکاملی، برای مثال الگوریتم تجمعی ذرات، با توجه به فیزیک مسئله می‌تواند یکتا نباشد. چراکه جستجوی ذرات برای یافتن پاسخ بهینه تصادفی است و در هر بار اجرای الگوریتم جوابی منحصر به‌فرد به‌دست می‌آید که خواه می‌تواند این جواب، یک جواب اصلی باشد و خواه جوابی در نزدیکی جواب اصلی. هدف از ارائه این تحقیق بررسی پاسخ‌های مختلف به‌دست آمده جانمایی بهینه یک ماهواره نمونه و تأثیرات آن‌ها بر تغییرات فرکانس طبیعی سامانه می‌باشد. در محموله‌های فضایی سازگاری فرکانسی محموله و پرتابگر جهت جلوگیری از بروز پدیده تشدید اهمیت ویژه‌ای دارد. محموله‌های فضایی در حقیقت سامانه‌ای تشکیل شده از زیرسامانه‌های مختلف است که

$\bar{M}$	ماتریس جرمی میانگین
$m_i$	جسم اجزا
$n$	درجه آزادی ماتریس
$p$	تعداد اعداد تصادفی
$Q$	طبقات ماهواره
$r_i$	شعاع اجزا
$t$	ضخامت هر طبقه
$\nabla V$	داخل اجزا
$X_e$	مرکز مورد انتظار ماهواره
$x_m$	مرکز واقعی ماهواره
$X_{2i-1}$	مولفه * بهینه‌سازی
$X_{2i}$	مولفه ۷ بهینه‌سازی
$y_e$	مرکز مورد انتظار ماهواره
$y_m$	مرکز واقعی ماهواره
$z_e$	مرکز مورد انتظار ماهواره
$z_m$	مرکز واقعی ماهواره
<b>علامی یونانی</b>	
$\delta$	خطای قابل قبول
$\theta$	زاویه بین محورهای اصلی دستگاه اینرسی و محورهای مرجع
$\Sigma$	ماتریس تصادفی
$\theta_G$	پارامتر شبیه‌سازی
$\sigma$	پارامتر پراکندگی
<b>زیرنویس‌ها</b>	
$F$	نرم فرینیوس
$i$	شمارنده
$j$	شمارنده

## مقدمه

می‌توان روند طراحی را به‌مانند مجموعه‌ای از فعالیت‌ها و تصمیم‌ها برای کاهش عدم قطعیت در محصول یا مشخصه‌های طراحی سامانه‌ها دانست [۱]. محققان در سال‌های اخیر به این مسئله همواره توجه داشته‌اند که تصمیم‌گیری در فاز اولیه طراحی بسیار اهمیت دارد زیرا می‌توان خطأ و هزینه را در فازهای بعدی طراحی کاهش داد. در طول فرآیند طراحی باید به سؤالات مختلفی در خصوص میزان قابلیت اطمینان و هزینه‌های طراحی پاسخ داد. پاسخ به این سؤالات وابسته به ابزار مختلفی است که منجر به انجام مصالحه‌های متفاوت می‌گردد. حتی اگر تحلیل مهندسی مدل دقیق باشد، طبیعت و اساس مفهوم طراحی منجر به ایجاد عدم قطعیت در نتایج می‌شود و درنهایت طراح را با ریسک‌های متعددی مواجه می‌سازد [۲]. یکی از پیچیده‌ترین و دشوارترین حوزه‌ها در طراحی سامانه‌های فضایی، طراحی جانمایی ماهواره است. این طراحی نیازمند شناسایی الزامات و ارتباط بین زیرسامانه‌های مختلف است و به معنای قرارگیری تجهیزاتی مانند محموله [۳] یا آنتن و رادار ماهواره [۴] در مکان‌های مناسب است.

رسم و مقدار میانگین و انحراف معیار بیان می‌گردد. این فرآیند تصادفی در جانمایی می‌تواند به عنوان مدلی برای لحاظ عدم قطعیت در فرکانس طبیعی در نظر گرفته شود و بدین ترتیب طراح از احتمال بروز پدیده تشید بر اثر عدم قطعیت در جانمایی، اطمینان حاصل می‌کند.

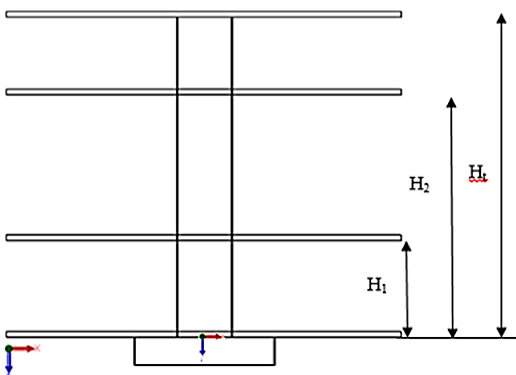
### بیان مسئله

ماهواره مورد مطالعه در این تحقیق یک ماهواره مدار پایین با مأموریت تصویربرداری است. با توجه به قیود پرتابگر و مأموریت تعریف شده برای این ماهواره مشخص است پیکربندی به شرح جدول ۱ ارائه شده است. این ماهواره شامل ۵۴ جز است. ابتدا مدل سازی اولیه انجام گرفت، سپس با استفاده از الگوریتم تجمعی ذرات بهینه‌سازی انجام شد.

جدول ۱- مشخصات پیکربندی ماهواره

پارامتر	اندازه (میلی‌متر)
H <sub>t</sub>	۱۱۵۰
t	۲۰
H <sub>1</sub>	۳۰۰
H <sub>2</sub>	۸۲۰
D	۱۴۰۰
d	۲۰۰

شکل ۱ نمایی از پیکربندی دوبعدی ماهواره را نشان می‌دهد. با توجه به طراحی سامانه‌ای صورت پذیرفته برای اجرای مأموریت تعریف شده، برای این ماهواره، ۸ زیرسامانه سازه و مکانیزم، تعیین و کنترل موقعیت و وضعیت، کنترل حرارت، کامپیوتر روی برد، پیشرانش، مخابرات، محموله و توان الکتریکی در نظر گرفته شده است. این زیر سامانه‌ها ۵۴ جزء از جمله مخزن سوخت را شامل می‌شوند. جهت ساده‌سازی، اجزا به صورت مکعبی و استوانه‌ای در نظر گرفته شده‌اند. این ماهواره‌ی نمونه شامل ۲۴ جزء مکعبی و ۳۰ جزء استوانه‌ای است. بدنه ماهواره از جنس آلومینیوم و وزن آن همراه با مخزن سوخت ۳۹۵/۴۳ کیلوگرم است.



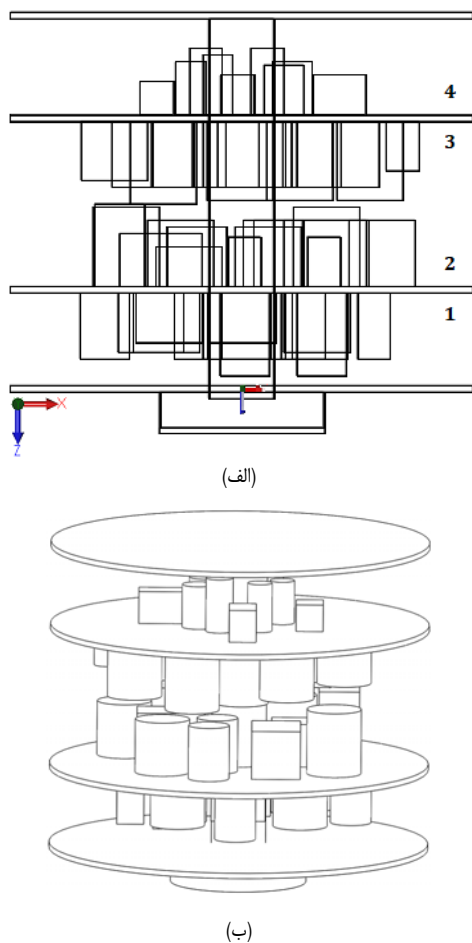
شکل ۱- پیکربندی دوبعدی ماهواره

در جدول ۲ مشخصات ابعادی و جرم اجزا مکعبی و در جدول ۳

دارای جانمایی مشخصی باشند. به دلیل وابستگی فرکانس طبیعی سامانه به جانمایی زیرسامانه‌ها، تغییرات در جانمایی سبب تغییرات در فرکانس طبیعی می‌گردد و در نتیجه تحلیل عدم قطعیت فرکانس طبیعی موضوع بسیار مهمی است. استفاده از کدهای المان محدود در تحلیل سازه‌ای به‌این معناست که پارامترهای سامانه ذاتاً قطعی فرض شده‌است [۲۹]. در حالی که سامانه شامل عدم قطعیت‌های پارامتری و غیر-پارامتری و خطاهای تجربی است [۳۰]، روش‌های مبتنی بر اغتشاش، طرح-ریزی و شبیه‌سازی با استفاده از مونت‌کارلو در مسائل مکانیکی تصادفی استفاده شده‌است [۳۱]. استفاده از تئوری ماتریس تصادفی ویشارت [۳۲-۳۵] و شبیه‌سازی مونت‌کارلو می‌تواند انتخاب خوبی برای بررسی عدم قطعیت در فرکانس طبیعی باشد. ارزیابی تجربی این روش که با استفاده از تعدادی جرم و فنر متصل شده به مدل برای افزایش عدم قطعیت انجام شده، نشان می‌دهد که مدل ماتریس تصادفی ویشارت به خوبی می‌تواند بیانگر مدل عدم قطعیت سامانه‌های دینامیکی خطی با فرکانس‌های طبیعی متوسط یا بالا باشد [۳۳]. ماتریس ویشارت نوعی ماتریس تصادفی است که استفاده از آن در سامانه‌های دینامیکی خطی سبب کاهش عدم قطعیت می‌گردد [۳۳].

هدف این تحقیق و ضرورت آن در بستر تحقیقات گذشته را می‌توان این‌گونه خلاصه کرد: فرکانس طبیعی سامانه وابسته به مکان قرارگیری و جانمایی سایر زیرسامانه‌های است و تغییر مکان زیرسامانه‌ها ممکن است تغییر در فرکانس طبیعی سامانه را در پی داشته باشد، پس جایه‌گایی تصادفی اجزاء تغییرات فرکانس طبیعی سامانه را در پی دارد. از طرف دیگر در مطالعات پیشین با روش‌های مختلف بهینه‌سازی جانمایی انجام شده است که با توجه به فیزیک مسئله می‌تواند چندین جواب داشته باشد. در این راستا برای تحلیل این عدم قطعیت به جای این راستا برای تحلیل این عدم قطعیت به جای جواب‌های کاملاً تصادفی، از جواب‌های قابل قبول یک الگوریتم بهینه‌سازی استفاده شده است تا بررسی شود تغییرات جانمایی بهینه اجزا تا چه حد بر تغییرات فرکانس طبیعی سامانه تأثیر دارد.

در این راستا، ابتدا با استفاده از الگوریتم تجمع ذرات یک ماهواره نمونه با لحاظ قیود عدم تداخل و کنترلی بهینه‌سازی می‌گردد و چون الگوریتم به طور تصادفی در فضای جستجو به دنبال جواب بهینه است، ۵۰ بار از الگوریتم ارائه شده خروجی‌هایی که قیود در آن‌ها ارضا شده گرفته می‌شود که خروجی همان مکان اجزا در صفحه x-y است. سپس با استفاده از مختصات به دست آمده اجزا و روش جرم متمرکز، مدل سازی المان محدود ۵۰ نمونه انجام می‌گردد و بعد از انجام تحلیل مodal و استخراج ماتریس جرمی و سختی هر یک از مدل‌ها، فرآیند شبیه‌سازی مونت‌کارلو بر اساس تئوری ماتریس تصادفی آغاز می‌شود؛ بدین صورت که بر اساس ۵۰ ماتریس جرمی و سختی به دست آمده، به میزان تکرار کافی ماتریس تصادفی تولید می‌گردد و مقادیر ویژه ماتریس‌های تصادفی که همان فرکانس طبیعی است، به دست می‌آید. سپس تابع چگالی احتمال مقادیر



شکل ۲- جانمایی اولیه ماهواره، الف- شکل دو بعدی جانمایی اولیه ماهواره نمونه،  
ب- شکل سه بعدی جانمایی اولیه

### فلوچارت انجام جانمایی

در این تحقیق، رسیدن به طرح جانمایی بهینه و لحاظ عدم قطعیت در مدل در چهار مرحله صورت می پذیرد:

۱- بهینه سازی جانمایی ماهواره و تولید خروجی های تصادفی با استفاده از الگوریتم PSO.

۲- مدل سازی ۵۰ نمونه بر اساس خروجی های الگوریتم PSO.

۳- تحلیل مودال با استفاده از نرم افزار المان محدود و استخراج ماتریس جرمی و سختی مدل های بهینه تصادفی تولید شده.

۴- به دست آوردن توزیع وتابع چگالی احتمال فرکانس طبیعی با استفاده از شبیه سازی مونت کارلو.

۱-۳- مرحله اول: فرآیند بهینه سازی و تولید نمونه های تصادفی

در این مرحله بهینه سازی جانمایی ماهواره با لحاظ قیود هندسی، عدم تداخل اجزا و قیود اعمالی از طرف زیر سامانه کنترل موقعیت و وضعیت صورت می پذیرد [۲۷]. با در نظر گرفتن قیود هندسی و کنترلی تابع

مشخصات اجزای استوانه ای ارائه شده است. واحد ابعاد اجزا میلی متر و جرم آن ها کیلو گرم می باشد.

جدول ۲- مشخصات اجزای مکعبی

$m_i$	$h_i$	$b_i$	$a_i$	$i$	$m_i$	$h_i$	$b_i$	$a_i$	$i$
۹	۲۰۰	۱۰۰	۱۵۰	۱۳	۲۲/۵	۲۰۰	۱۵۰	۲۵۰	۱
۹	۲۰۰	۱۰۰	۱۵۰	۱۴	۲۲/۵	۲۰۰	۱۵۰	۲۵۰	۲
۴/۵	۱۵۰	۱۰۰	۱۰۰	۱۵	۲۲/۵	۲۰۰	۱۵۰	۲۵۰	۳
۴/۵	۱۵۰	۱۰۰	۱۰۰	۱۶	۲۴	۲۰۰	۱۶۰	۲۵۰	۴
۱۶/۶۵	۱۵۰	۱۹۰	۲۰۰	۱۷	۲۴	۱۶۰	۱۶۰	۲۵۰	۵
۱۶/۶۵	۱۵۰	۱۹۰	۲۰۰	۱۸	۲۷	۱۸۰	۱۸۰	۲۵۰	۶
۱۴/۴	۱۲۰	۱۲۰	۲۰۰	۱۹	۲۰	۲۵۰	۲۰۰	۲۰۰	۷
۱۴/۴	۲۰۰	۱۲۰	۱۶۰	۲۰	۲۰	۲۵۰	۲۰۰	۲۰۰	۸
۱/۹۲	۱۲۰	۱۰۰	۱۶۰	۲۱	۲۰	۲۵۰	۲۰۰	۲۰۰	۹
۱/۹۲	۱۲۰	۱۰۰	۱۶۰	۲۲	۱۶/۸۸	۲۵۰	۱۵۰	۱۵۰	۱۰
۱/۹۲	۱۲۰	۱۰۰	۱۶۰	۲۳	۱۶/۸۸	۲۵۰	۱۵۰	۱۵۰	۱۱
۱/۹۲	۱۲۰	۱۰۰	۱۰۰	۲۴	۱۶/۸۸	۲۵۰	۱۵۰	۱۵۰	۱۲

جدول ۳- مشخصات اجزای استوانه ای

$mi$	$hi$	$ri$	$i$	$mi$	$hi$	$ri$	$i$
۲/۰۵	۲۰۰	۷۵	۴۰	۲۶/۶۲	۲۴۰	۱۰۰	۲۵
۲/۰۵	۲۰۰	۷۵	۴۱	۲۶/۶۲	۲۴۰	۱۰۰	۲۶
۱۶/۹۷	۲۰۰	۷۵	۴۲	۲۶/۶۲	۲۴۰	۱۰۰	۲۷
۱۸/۸۵	۲۰۰	۵۰	۴۳	۱۸/۸۵	۲۴۰	۱۰۰	۲۸
۴/۷۱	۲۰۰	۵۰	۴۴	۱۰/۶۰	۲۴۰	۱۰۰	۲۹
۴/۷۱	۲۰۰	۵۰	۴۵	۱۰/۶۰	۱۸۰	۱۰۰	۳۰
۴/۷۱	۲۰۰	۵۰	۴۶	۱۰/۶۰	۱۸۰	۱۰۰	۳۱
۴/۷۱	۲۰۰	۵۰	۴۷	۱۰/۶۰	۱۸۰	۱۰۰	۳۲
۵/۰۹	۱۵۰	۵۰	۴۸	۴/۷۱	۱۸۰	۱۰۰	۳۳
۵/۰۹	۱۵۰	۶۰	۴۹	۴/۷۱	۱۸۰	۱۰۰	۳۴
۲/۰۵	۱۶۰	۶۰	۵۰	۴/۷۱	۲۰۰	۱۰۰	۳۵
۲/۰۵	۱۶۰	۴۵	۵۱	۴/۷۱	۲۰۰	۱۰۰	۳۶
۱۶/۹۷	۱۸۰	۴۵	۵۲	۴/۷۱	۲۰۰	۱۰۰	۳۷
۴/۷۱	۲۰۰	۱۰۰	۵۳	۵/۰۹	۲۰۰	۱۰۰	۳۸
-	-	۱۰۰	۵۴	۵/۰۹	۲۰۰	۷۵	۳۹

چیدمان اولیه اجزا در جدول ۴ تعریف شده است.

جدول ۴- محل قرارگیری اجزا در هر سطح

شماره اجزا	Q
۴,۱۱,۱۲,۱۴,۱۷,۱۸,۳۰,۳۱,۳۳,۳۶,۳۹,۴۰,۴۶,۴۷,۵۴	۱
۳,۵,۶,۱۰,۱۵,۱۶,۱۹,۲۵,۲۷,۳۴,۳۵,۳۷,۳۸,۴۱,۴۲,۵۴	۲
۱,۲,۷,۸,۹,۱۳,۲۰,۲۶,۲۸,۲۹,۳۲,۴۴,۴۸,۵۳,۵۴	۳
۲۲,۲۱,۲۳,۲۴,۴۳,۴۵,۴۹,۵۰,۵۱,۵۲,۵۴	۴

شکل ۲-الف و ۲-ب جانمایی اولیه دوبعدی و سه بعدی را نشان می دهد.

$Y_i(\text{mm})$	$X_{2i}$	$X_i(\text{mm})$	$X_{2i-1}$	$i$
-۱۲۲/۴۷	$X_{24}$	-۱۰۳/۱۵	$X_{23}$	۱۲
۱۷۶/۶۵	$X_{26}$	-۲/۱۹	$X_{25}$	۱۳
۳۵۱/۰۱	$X_{28}$	-۱۸۰/۹۸	$X_{27}$	۱۴
۱۴۷/۸۰	$X_{30}$	-۱۴۳/۲۵	$X_{29}$	۱۵
-۲۰۶/۲۷	$X_{32}$	-۹۵/۸۳	$X_{31}$	۱۶
-۲۷۱/۹۳	$X_{34}$	۵۳/۳۷	$X_{33}$	۱۷
۱۶۳/۴۳	$X_{36}$	۳۶/۶۰	$X_{35}$	۱۸
۱۶۰/۰۸	$X_{38}$	۲۲/۸۰	$X_{37}$	۱۹
-۱۶۶/۲۵	$X_{40}$	-۲۱۹/۰۶	$X_{39}$	۲۰
-۱۵۳/۴۲	$X_{42}$	-۲۹۹/۸۸	$X_{41}$	۲۱
۱۴۰/۶۱	$X_{44}$	-۲۸۵/۲۷	$X_{43}$	۲۲
۱۸۷/۷۱	$X_{46}$	۳۹/۹۴	$X_{45}$	۲۳
۳۷۱/۵۵	$X_{48}$	۷۹/۸۲	$X_{47}$	۲۴
-۱۵۱/۷۱	$X_{50}$	۲۸۰/۴۱	$X_{49}$	۲۵
۱۳۴/۶۰	$X_{52}$	۲۹۸/۸۳	$X_{51}$	۲۶
۳۴۹/۲۷	$X_{54}$	۲۰۶/۶۱	$X_{53}$	۲۷
-۲۹/۸۲	$X_{56}$	-۳۰۲/۹۵	$X_{55}$	۲۸
-۳۸۱/۵۰	$X_{58}$	۳۵۶/۲۴	$X_{57}$	۲۹
-۱۷۰/۸۸	$X_{60}$	-۲۶۳/۱	$X_{59}$	۳۰
۲۵/۱۵	$X_{62}$	۱۹۰/۵۵	$X_{61}$	۳۱
-۱۵۲/۴۴	$X_{64}$	۸۵/۳۸	$X_{63}$	۳۲
۱۸۹/۹۹	$X_{66}$	-۴۲۰/۶۶	$X_{65}$	۳۳
-۷۴/۷۹	$X_{68}$	-۳۵۹/۵۸	$X_{67}$	۳۴
۳۷۱/۶۴	$X_{70}$	۴۲/۱۷	$X_{69}$	۳۵
-۶۱/۲۰	$X_{72}$	۳۹۲/۲۸	$X_{71}$	۳۶
-۲۸۲/۱۸	$X_{74}$	-۲۶۴/۱	$X_{73}$	۳۷
-۵۰/۲۱	$X_{76}$	-۱۶۳/۶۷	$X_{75}$	۳۸
-۳۵۶/۵۹	$X_{78}$	-۳۴۴/۲	$X_{77}$	۳۹
۳۸۸/۷۴	$X_{80}$	۱۵/۸۰	$X_{79}$	۴۰
-۳۹۱/۵۳	$X_{82}$	-۴۱۴/۷۵	$X_{81}$	۴۱
۲/۲۲	$X_{84}$	۳۷۰/۵۷	$X_{83}$	۴۲
۳۱۱/۷۱	$X_{86}$	-۷۰/۷۸	$X_{85}$	۴۳
۴۴۲/۳۵	$X_{88}$	۲۷۵/۸۸	$X_{87}$	۴۴
۵۱/۷۵	$X_{90}$	-۴۳۹/۴۵	$X_{89}$	۴۵
۲۹۱/۰۷	$X_{92}$	۱۶۶/۴۴	$X_{91}$	۴۶
۴۴۴/۵۹	$X_{94}$	۲۴۰/۳۳	$X_{93}$	۴۷
۳۹۱/۴۲	$X_{96}$	-۳۴۰/۵۹	$X_{95}$	۴۸
-۲۹۰/۶۱	$X_{98}$	۳۰۵/۹۲	$X_{97}$	۴۹
۵۱/۶۰	$X_{100}$	۳۲۳/-۰۲	$X_{99}$	۵۰
۲۱۸/۲۲	$X_{102}$	۲۳۱/۳۳	$X_{101}$	۵۱
-۳۷۳/۴۱	$X_{104}$	۴۲/۰۱	$X_{103}$	۵۲
۳۱۲/۰۲	$X_{107}$	۱۵۴/۰۵	$X_{106}$	۵۳

جدول ۶ مقادیر ممان‌ها بدست آمده از الگوریتم تجمع ذرات را نشان می‌دهد.

هدف مسئله باید انتخاب گردد. در این تحقیق هدف مینیمم کردن ممان‌های اینرسی اصلی است که به صورت رابطه (۱) بیان می‌شود و قیود کنترلی از روابط (۷-۲) به دست می‌آید [۲۷]:

$$\min f(x) = I_{xx} + I_{yy} + I_{zz} \quad (1)$$

$$g_1 = |x_m - x_e| - \delta x_e \leq 0 \quad (2)$$

$$g_2 = |y_m - y_e| - \delta y_e \leq 0 \quad (3)$$

$$g_3 = |z_m - z_e| - \delta z_e \leq 0 \quad (4)$$

$$g_4 = |\theta_x - \theta_e| - \delta \theta_x \leq 0 \quad (5)$$

$$g_5 = |\theta_y - \theta_e| - \delta \theta_y \leq 0 \quad (6)$$

$$g_6 = |\theta_z - \theta_e| - \delta \theta_z \leq 0 \quad (7)$$

$$g_7 = g(i,j) = -(x(2Q(i)-1) - x(2Q(j)-1))^2 - (x(2Q(i)) - x(2Q(j)))^2 + (r(Q(i)) + r(Q(j)))^2 \quad (8)$$

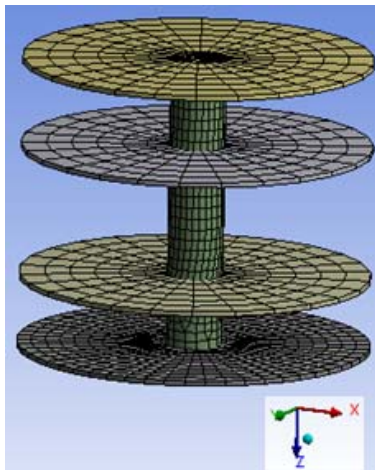
$$\nabla V = \sum_{k=1}^K g_k(i,j) \leq 0 \quad (9)$$

$I_{xx}$  ممان اینرسی حول محور  $x$ ،  $I_{yy}$  ممان اینرسی حول محور  $y$  و  $I_{zz}$  ممان اینرسی حول محور  $z$  در مختصات سراسری است. روابط (۲) تا (۴) مربوط به تعادل استاتیکی ماهواره و روابط (۵) تا (۷) مربوط به مقدار خطای قابل قبول نسبت به مرکز جرم ماهواره در مختصات سراسری است [۲۷].  $x_e$  و  $y_e$  مرکز جرم مورد انتظار ماهواره است که در این تحقیق (۰ و ۰) درنظر گرفته می‌شود چراکه مرکز جرم مخزن سوخت در این مختصات قرار دارد و حتی الامکان مرکز جرم این دو باید به هم نزدیک باشد. رابطه (۹) نشان می‌دهد که مجموع قیود هندسی هر سطح باید کوچکتر یا مساوی صفر باشد تا قید ارضا شود زیرا مقدار منفی رابطه نشان می‌دهد که دو جسم تداخلی ندارند. جواب بهینه‌سازی یک مدل نمونه به شرح جدول ۵ می‌باشد. همان‌طور که قبلاً گفته شد برای تولید نمونه‌های موردنیاز در تحلیل عدم قطعیت ۵۰ نمونه بهینه تولید شده است.

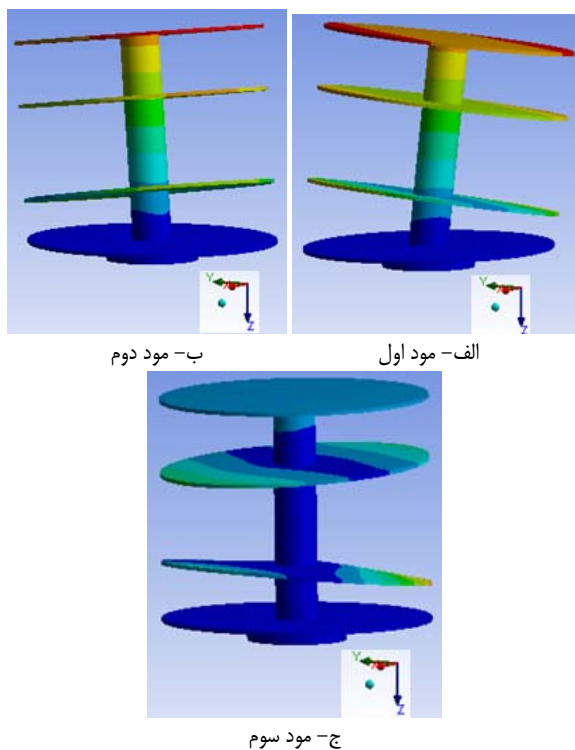
جدول ۵- جواب بهینه‌سازی یک مدل نمونه

$Y_i(\text{mm})$	$X_{2i}$	$X_i(\text{mm})$	$X_{2i-1}$	$i$
-۲۲۸/۶۵	$X_2$	۲۶۶/۲۴	$X_1$	۱
-۳۱۲/۷۳	$X_4$	۱۳۰/۱۱۴	$X_3$	۲
-۱۴۰/۲۱	$X_6$	۸۹/۶۵	$X_5$	۳
-۱۲۳/۰۳	$X_8$	۱۱۳/۱۷	$X_7$	۴
-۲۸۷/۴۵	$X_{10}$	۱۶۷/۲۴	$X_9$	۵
-۱۱/۹۳	$X_{12}$	۱۸۵/۶۴	$X_{11}$	۶
-۲۳۶/۶۷	$X_{14}$	-۵۷/۵۶	$X_{13}$	۷
-۵۹/۴۵	$X_{16}$	۲۷۶/۵۵	$X_{15}$	۸
۸۷/۶۴	$X_{18}$	۱۴۰/۳۶	$X_{17}$	۹
۳۰۲/۵۵	$X_{20}$	-۲۱۸/۱۴	$X_{19}$	۱۰
۱۴۱/۹۹	$X_{22}$	۳۲۴/۲۳	$X_{21}$	۱۱

جدول ۶ فرکانس طبیعی برای مود اول تا ششم را برای مدل اول نشان می‌دهد.



شکل ۳- مشبکه مدل نمونه



شکل ۴- تحلیل مودال نمونه

جدول ۶ فرکانس طبیعی برای مود اول تا ششم را برای مدل اول نشان می‌دهد.

جدول ۶- مقادیر بدست‌آمده

واحد	پارامتر	مقادیر
$Kg.m^2$	$I_{xx}$	۲۸۵/۴۸
$Kg.m^2$	$I_{yy}$	۲۷۹/۷۵
$Kg.m^2$	$I_{zz}$	۱۳۸/۳۰
$Kg.m^2$	$I_{xy}$	-۱/۱۲۵
$Kg.m^2$	$I_{xz}$	۰/۴۸
$Kg.m^2$	$I_{yz}$	۲/۷۰
-	$\Theta_x$	۰/۱۵
-	$\Theta_y$	۰/۰۵۶
-	$\Theta_z$	۰/۱۲۱
-	$\Delta V$	.

### مرحله دوم: مدل‌سازی عدم قطعیت

همان‌طور که گفته شد فرآیند بهینه‌سازی برای گرفتن خروجی‌های مجزا ۵۰ بار تکرار شده است. عدد ۵۰ مبنای کار شیوه‌سازی این تحقیق است و با شبیه‌سازی ۵۰ مدل میزان تغییرات و همگرایی شبیه‌سازی سنجیده خواهد شد. علت استفاده از الگوریتم‌های تکاملی و در اینجا الگوریتم تجمع ذرات نیز تولید نمونه‌های بهینه مستقل است. الگوریتم تجمع ذرات به دلیل استفاده از جستجوی تصادفی در هر اجرای کد، جواب منحصر به‌فردی را ارائه می‌دهد که مبنای شبیه‌سازی این تحقیق است. پیکربندی بدن ماهواره و جرم و ابعاد اجزای ماهواره ثابت است و تنها مختصات مرکز جرم اجزا در صفحه متغیر است. در این قسمت مقدار Z مرکز جرم اجزاء ثابت فرض شده است. برای سادگی تحلیل مودال و کاهش تعداد المان‌ها در تحلیل المان محدود به جای مدل‌سازی کامل اجزا از جرم متمرکز برای هر جزء استفاده شده است که به هر یک از سطوح اعمال می‌شود [۳۲]. مدل میرا نیست و به دلیل آنکه درجه آزادی ماتریس جرمی و سختی بستگی به تعداد المان دارد، هرچه تعداد المان‌ها بیشتر باشد، درجه آزادی و تعداد درایه‌های ماتریس جرمی و سختی بیشتر می‌شود. این افزایش درجه آزادی تأثیر قابل توجهی بر زمان و حافظه محاسباتی شبیه‌سازی مونتاچ کارلو دارد به‌طوری که بدون ساده‌سازی مسئله، به یک رایانه قدرتمند نیاز است. برای مثال بدون ساده‌سازی ماتریس جرمی و سختی دارای درجه آزادی بیش از ۵۰۰۰۰ تا ۱۴۵۳۸ تقلیل یافت به همین علت مطالعه مش انجام شد تا کمترین مقدار المان برای تحلیل به دست آید، این مطالعه در بخش نتایج تشریح شده است. شکل ۳ مشبکه یک مدل نمونه را نشان می‌دهد.

جدول ۶- مقادیر فرکانس طبیعی ماهواره

فرکانس طبیعی [Hz]	مود	فرکانس طبیعی [Hz]	مود
۲۱/۱۲	۴	۱۰/۱۰۴	۱
۲۲/۵۱	۵	۱۰/۳۳۷	۲
۲۲/۸۱	۶	۱۹/۶۳۲	۳

### ۳-۳- مرحله سوم: تحلیل مودال

در این مرحله تحلیل مودال برای هر کدام از مدل‌ها انجام گرفت که نتایج سه مود اول در شبیه‌سازی مسئله مورد نظر است. مودهای یک تا سه یکی از مدل‌های نمونه در شکل ۴ آورده شده است.

ماتریسی متقارن و غیرصفیر تعریف می‌شود. در تئوری احتمالات ماتریس تصادفی ماتریسی است که برخی یا همه مقادیر آن تصادفی است، در نتیجه مقادیر ویژه آن نیز تصادفی است و هدف از استفاده این تئوری، مطالعه توزیع احتمالاتی این مقادیر ویژه تصادفی است. این ماتریس به منظور بررسی رشد عدم قطعیت‌هایی که در مدل‌های سازه‌ای (نه پارامترها) وجود دارد معروفی شد. از آنجاکه داده‌های تحقیق حاضر برای شبیه‌سازی، مقادیر ماتریس جرمی و سختی است که از تحلیل مودال به دست آمده، برای به دست آوردن توزیع احتمالاتی از ماتریس تصادفی ویشارت استفاده شده است. هدف از این شبیه‌سازی به دست آوردن مقادیر ویژه ماتریس جرمی و سختی شبیه‌سازی شده در تکرار کافی برای رسیدن به همگرایی در پارامترهای آماری و به دست آوردن توزیع احتمالاتی و تابع چگالی احتمال آن است.

برای شبیه‌سازی مونت کارلوی ماتریس ویشارت به دو پارامتر  $P$  و  $\Sigma$  نیاز است.  $\Sigma$  یک ماتریس با مقادیر تصادفی و  $P$  تعداد اعداد تصادفی است که بر اساس آن ماتریس تولید می‌شود.  $P$  و  $\Sigma$  از روابط (۱۱) و (۱۲) به دست می‌آیند [۲۹]:

$$p = n + 1 + \theta_G \quad (11)$$

$$\Sigma = \bar{G}/\theta_G \quad (12)$$

$n$  درجه آزادی ماتریس است.  $\bar{G}$  ماتریسی است که از المان محدود به دست آمده و به طور کلی برابر با  $\bar{G} \equiv \{\bar{M}, \bar{C}, \bar{K}\}$  می‌باشد. در این تحقیق این ماتریس به صورت میانگین ماتریس جرمی استفاده شده و ماتریس سختی ثابت است.  $\theta_G$  یک پارامتر در شبیه‌سازی است و از رابطه (۱۳) به دست می‌آید:

$$\theta_G = \frac{1}{\sigma_G^2} \left( I + \frac{\text{Trace}(\bar{G})^2}{\text{Trace}(\bar{G}^2)} - (n+1) \right) \quad (13)$$

for  $G = \{M, C, K\}$

$\sigma_G$  پارامتر پراکندگی است که برای متغیر ماتریسی از رابطه (۱۴) به دست می‌آید:

$$\sigma_G^2 = \frac{E[\|G - E[G]\|_F^2]}{\|E[G]\|_F^2} \quad (14)$$

اندیس  $F$  نشان‌دهنده نُرم فوربینیوس است و  $E$  بیانگر مقدار میانگین است. نُرم فوربینیوس یک نُرم ماتریسی است. در رابطه (۱۴) ابتدا تفاضل هر کدام از ماتریس‌های  $\Lambda$  و ماتریس میانگین به دست می‌آید و پس از گرفتن نُرم فوربینیوس هر کدام میانگین کل به دست می‌آید، به طور مثال برای ماتریس جرمی داریم:

$$B_j = \|M_i - \bar{M}\|_F^2 \quad \text{for } i = 1, 2, \dots, 50 \text{ and} \quad (7)$$

$$j = 1, 2, \dots, 50$$

$$\sigma_G^2 = \frac{E[B_1, B_2, \dots, B_j]}{\|\bar{M}\|_F^2}$$

## مطالعه مش مدل نمونه

برای اعتبارسنجی تحلیل مودال، حساسیت مدل بر تعداد المان‌ها و درصد خطای ایجادشده بررسی شده است. معمولاً با تعداد مش پیش‌فرض نرم‌افزار جواب تقریبی خوبی به دست می‌آید و با ریزترکردن المان‌ها دقت تحلیل بالاتر می‌رود. به دلیل زمان بر بودن و سنگین بودن محاسبات در استخراج ماتریس سختی و جرمی و شبیه‌سازی مونت‌کارلو، تعداد پیش‌فرض نرم‌افزار در حل مودال استفاده و با مطالعه مش درصد خطای قابل قبول در حل محاسبه شد. تعداد المان‌ها ۲۵۵۵ و فرکانس مود اول  $10/10^4$  است. درصد خطا از رابطه (۲) به دست می‌آید:

$$\text{خطا} = (\text{مقدار اندازه‌گیری شده} - \text{مقدار قابل قبول}) / \text{مقدار قابل قبول} \times 100 \quad (10)$$

مقدار خطا در این مدل برابر است با:

$$\frac{(10.104 - 10.015)}{10.015} \times 100 = 0.88\%$$

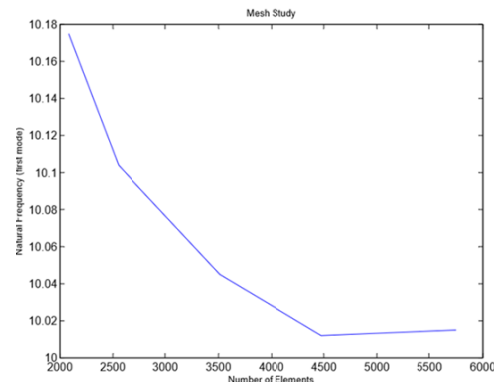
همان‌طور که ملاحظه می‌شود مقدار خطا کمتر از ۱ درصد است.

جدول ۷ تغییرات فرکانس طبیعی مود اول با تغییر المان‌ها را نشان می‌دهد:

جدول ۷- تغییرات فرکانس طبیعی مود اول با تغییر المان

تعداد المان (n)	مود اول (Hz)
۵۷۵۳	۴۴۷۴
۴۴۷۴	۳۵۱۳
۳۵۱۳	۲۵۵۵
۲۵۵۵	۲۰۸۱
۲۰۸۱	۱۰/۱۰۴
۱۰/۱۰۴	۱۰/۰۴۵
۱۰/۰۴۵	۱۰/۰۱۲
۱۰/۰۱۲	۱۰/۰۱۵
۱۰/۰۱۵	۵۷۵۳

شکل ۵ بیانگر نمودار تغییرات مود اول بر اساس تعداد المان است که با افزایش تعداد المان به سمت همگرایی و کاهش تغییرات پیش می‌رود.



شکل ۵- نمودار تغییرات مود اول بر اساس تعداد المان

## شبیه‌سازی مقادیر فرکانس طبیعی

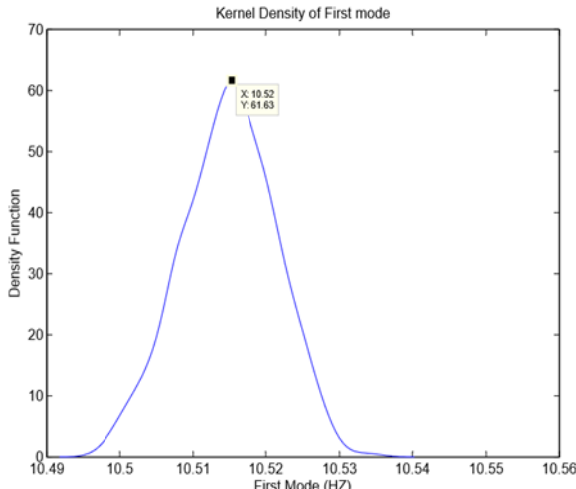
در این بخش با استفاده از مقادیر ماتریس جرمی و سختی استخراج شده و با استفاده از تئوری ماتریس تصادفی ویشارت<sup>۱</sup> [۲۹] شبیه‌سازی عدم قطعیت در مسئله صورت می‌پذیرد. ماتریس ویشارت نوعی توزیع احتمالاتی در فضای ماتریسی است که برای متغیرهای تصادفی

1. Wishart random matrix

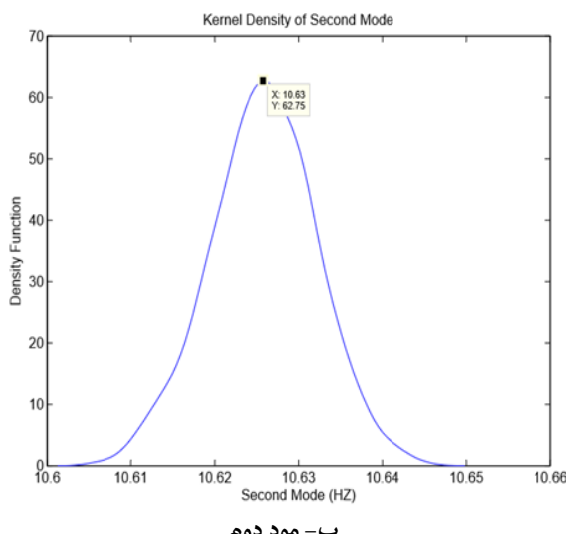
مقدار کمی است. مقدار مود اول و دوم تقریباً برابرند که علت آن تقارن سازه و داشتن سطح مقطع دایروی است اما این دو مود هر دو اتفاقی می‌افتدند. شکل ۷ نمودارهایتابع چگالی احتمال مود اول و دوم و سوم را نشان می‌دهد. هر سه نمودار نشان می‌دهد که توزیع تقریباً نرمال است و میانگین مود اول  $10.51 \pm 0.0064$  و انحراف معیار  $0.0064 \pm 0.0004$  است. مقدار مود نشان داده شده در شکل ۷،  $10.52 \pm 0.0063$  است. از آنجاکه مود و میانگین تقریباً یکی است توزیع تقریباً نرمال است.

جدول ۸- مقادیر شبیه‌سازی شده فرکانس طبیعی و انحراف معیار مود اول تا سوم

انحراف معیار	میانگین فرکانس طبیعی [HZ]	
$0.0064$	$10.5148 \pm 0.0064$	مود اول
$0.0063$	$10.6258 \pm 0.0063$	مود دوم
$0.0126$	$10.9503 \pm 0.0126$	مود سوم



الف- مود اول

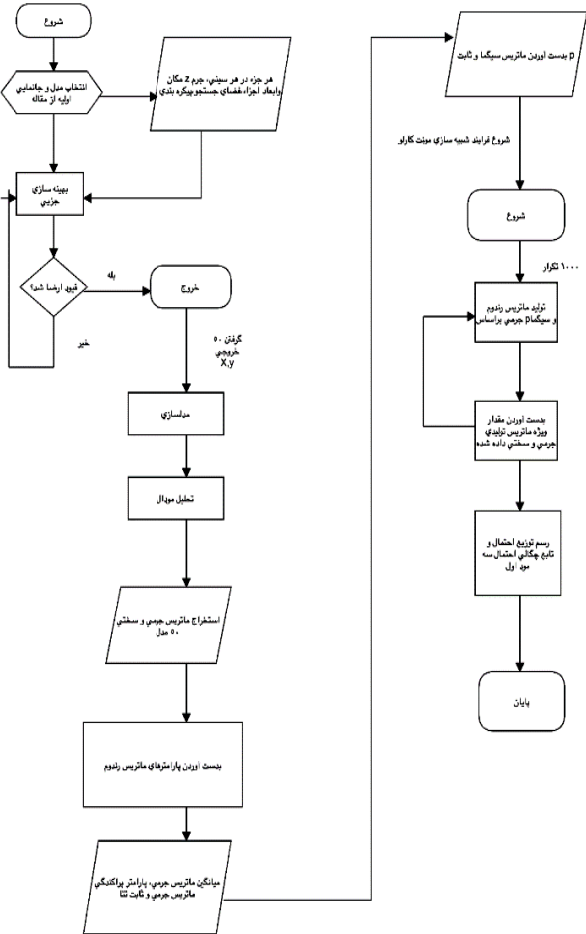


ب- مود دوم

شکل ۷- تابع چگالی احتمال

ضریب پراکندگی برای تعداد مدل‌های ۳۰، ۴۰ و ۵۰ به دست آمد که مقادیر آن‌ها به ترتیب  $0.0023 \pm 0.0022$  و  $0.0022 \pm 0.0023$  است. درنتیجه تغییرات ضریب پراکندگی برای ماتریس‌های جرمی بسیار کم است و می‌توان گفت انتخاب ۵۰ مدل برای شبیه‌سازی کافی است.

شکل ۶ دیاگرام الگوریتم پیشنهادی فرایند شبیه‌سازی را نشان می‌دهد.



شکل ۶- نمودار الگوریتم پیشنهادی

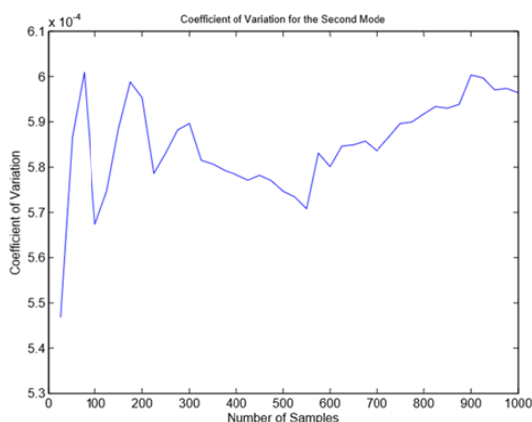
## نتایج و بحث

در این قسمت نتایج حاصل از شبیه‌سازی فرکانس طبیعی ارائه شده است.

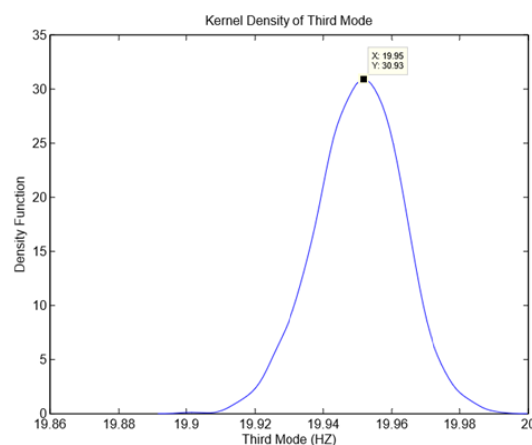
### نتایج شبیه‌سازی مونت کارلو

مقادیر بدست آمده از شبیه‌سازی مونت کارلو برای مود اول، دوم و سوم فرکانس طبیعی و انحراف معیار هر کدام در جدول ۸ آورده شده است.

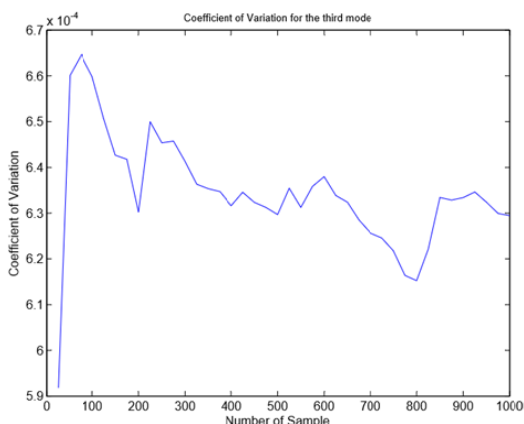
نتایج نشان می‌دهد تغییرات فرکانس طبیعی نسبت به تغییرات جانمایی بهینه ارائه شده ناچیز است و انحراف معیار برای هر سه مود



ب- مود دوم



ج- مود سوم



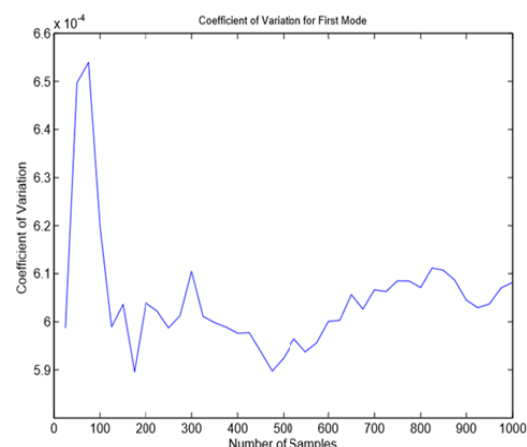
ج- مود سوم

شکل ۸- نمودار ضریب تغییرات

## نتیجه‌گیری نهایی

هدف از انجام این تحقیق، پیش‌بینی تغییرات فرکانس طبیعی ماهواره با لحاظ عدم قطعیت در مقادیر جانمایی بهینه است. به همین منظور با استفاده از الگوریتم PSO بهینه‌سازی جانمایی در یک ماهواره نمونه، انجام شد و از آنجاکه در این الگوریتم جستجو به صورت تصادفی است، جواب مختلف به عنوان خروجی طراحی جانمایی گرفته شد. بر این اساس، مدل‌سازی المان محدود نمونه‌ها انجام گرفت و علاوه بر تحلیل مودال، ماتریس سختی و جرمی به عنوان ورودی‌های تصادفی استخراج گردید. شبیه‌سازی یک ماتریس تصادفی جدید بر اساس ماتریس‌های ورودی انجام گرفت و مقادیر ویژه تصادفی آن به دست آمد و در نهایت بر روی این مقادیر ویژه تصادفی که همان فرکانس طبیعی است، مطالعه انجام گرفت. نتایج نشان داد که توزیع احتمالاتی فرکانس طبیعی مدل ارائه شده حاصل از متغیرهای تصادفی تولیدی نرمال است. این شبیه‌سازی با رویکرد تئوری ماتریس تصادفی ویشارت انجام گرفت.

**صححت‌سنگی نتایج**  
در اینجا نسبت انحراف معیار به میانگین برای اطمینان از درستی انتخاب تعداد تکرار به عنوان معیار همگرایی نتایج انتخاب شده است که به آن ضریب تغییرات گویند. شکل ۸ نمودار ضریب تغییرات مود اول تا سوم نسبت به جمعیت نمونه‌ها را نشان می‌دهد. با توجه به نمودار، به ازای افزایش ۱۰۰ نمونه در جمعیت نمونه‌ها کمتر از ۱ درصد تغییرات در ضریب تغییرات وجود دارد. با بررسی نمودارها مشاهده می‌شود که نوسانات و تغییرات در نمودار در تعداد تکرارهای کمتر، بیشتر است اما هرچه تعداد تکرار افزایش داده می‌شود، این نوسانات کاهش پیدا کرده و ضریب تغییرات به یک عدد مشخص همگرا می‌شود. در مود دوم به عدد  $6 \times 10^4$  افزایش تکرار ضریب تغییرات به عدد  $6/3 \times 10^4$  در مود سوم به عدد  $6/6 \times 10^4$  و در مود سوم به عدد  $6/6 \times 10^4$  بین ۸۰۰ تا ۱۰۰۰ تکرار همگرا شده‌اند. در این نمودار می‌توان گفت ۸۰۰ تکرار برای همگرایی نتیجه کافی است. با توجه به بررسی معیار همگرایی، نتایج بدست آمده از شبیه‌سازی مونت‌کارلو قابل اعتماد است.



الف- مود اول

- [7] Fakoor, M., M., Taghinejad and A. Kosari, "Review of Method for Optimal Layout of Satellite Components," *Modares Mechanical Engineering*, Vol. 13, No. 9, 2013, pp. 126-37.
- [8] Sun, Z., H., Teng, Z. Liu, "Several Key Problems in Automatic Layout Design of Spacecraft Modules," *Progress in Natural Science*, Vol.13, No. 11, 2003, pp. 801-8.
- [9] Qian, Z.Q., H.F., Teng and Z.G. Sun, "Human-computer Interactive Genetic Algorithm and Its Application to Constrained Layout Optimization," *Chinese Journal of Computers-Chinese Edition*, Vol. 24, 5, 2001, pp. 553-9.
- [10] Peer, S.K., D.K. Sharma, "Human-computer Interaction Design with Multi-Goal Facilities Layout Model," *Computers & Mathematics with Applications*, Vol. 56, No.9, 56, 2008, pp. 2164-74.
- [11] Huo, J.Z., H.F. Teng, "Optimal Layout Design of a Satellite Module using a Coevolutionary Method with Heuristic Rules," *Journal of Aerospace Engineering*, Vol. 22, No. 2, 2009, pp. 101-11.
- [12] Chen, Y., H.F. Teng, "Coevolutionary Algorithm with Coarse-to-Fine Grain Strategy and Its Application to Layout Design of Satellite Module." *Journal of Dalian University of Technology*, Vol. 6, 2010.
- [13] Xu, Y. C., F.M. Dong, Y. Liu, R.B. Xiao and M. Amos, "Ant Colony Algorithm for the Weighted Item Layout Optimization Problem," arXiv preprint arXiv:1001.4099. 2010.
- [14] Teng, H.F., Y., Chen, W., Zeng, Y.J., Shi and Q.H. Hu, "A Dual-system Variable-Grain Cooperative Coevolutionary Algorithm: Satellite-Module Layout Design." *IEEE Transactions on Evolutionary Computation*, Vol. 14, No.3, 2009, pp. 438-55.
- [15] Fakoor, M., M. Taghinezhad, A. Kosari and M. Mohamadzade, "Layout Design Optimization of Communication Satellite According to Functional Constraints," *The 21<sup>th</sup> Annual International Conference on Mechanical Engineering*, Iran, Tehran 2013.
- [16] Qin, Z. and Y.G. Liang, "A Study on the Particle Swarm Optimization with Adaptive Weight Constrained Layout Optimization," *The 8<sup>th</sup> International Conference on Intelligent Human-Machine Systems and Cybernetics (IHMSC)*, IEEE, Vol. 1, 2016, pp. 283-287.
- [17] Li, Z., Y. Zeng, Y. Wang, L. Wang and B. Song, "A Hybrid Multi-Mechanism Optimization Approach for the Payload Packing Design of a Satellite Module," *Applied Soft Computin.*, Vol. 45, 2016, pp. 11-26.
- [18] Yang, J., X. Chen and W. Yao, "A Rectangular Cuboid Satellite Module Layouts Method Based on Integer Optimization," *The 6<sup>th</sup> International Conference on Advanced Design and Manufacturing Engineering (ICADME 2016)*, Atlantis Press 2017.
- [19] Liu, J.F. and L. Hao, G. Li, Y. Xue, Z.X. Liu and J. Huang, "Multi-objective Layout Optimization of a Satellite Module Using The Wang-Landau Sampling Method with Local Search," *Frontiers of Information Technology & Electronic Engineering*, Vol. 17, No. 6, 2016, pp. 527-542.
- [20] Daneshjou, K., M. Arjomandi and H. Shahrabi, "FARAGAM Algorithm in Satellite Layout," *Proceeding 6<sup>th</sup> Asia-Pacific Conference on Multilateral Cooperation in Space Technology and Applications*, 2001.
- [21] Fakoor, M., S.M., Ghoreishi and H. Sabaghzadeh, "Spacecraft Component Adaptive Layout Environment (SCALE): an Efficient Optimization Tool," *Advances in Space Research*. Vol.58, No. 9, 2016, pp. 1654-1670.

در این تحقیق با توجه به الگوریتم به کاررفته، توزیع احتمالاتی فرکانس طبیعی نرمال است. با استفاده از الگوریتم ارائه شده در طراحی جانمایی ماهواره، می‌توان ریسک و هزینه را کاهش داد، چراکه می‌توان تغییرات فرکانس طبیعی را پیش‌بینی و در نتیجه از تداخل آن با فرکانس طبیعی پرتاگر، که موجب پدیده رزوئناس می‌گردد، جلوگیری کرد. پیشنهاد نویسنده‌گان این مقاله در ادامه این تحقیق، بررسی طراحی مقاوم و قابلیت اطمینان در فاز بعدی است.

به طور کلی نوآوری‌های تحقیق ارائه شده به شرح زیر است:

۱- بررسی این مسئله که تا چه حد جواب‌های بهینه جانمایی که همان تغییرات مکان اجزای ماهواره است، روی تغییرات فرکانس طبیعی تأثیر دارد.

۲- ارائه الگوریتمی برای تحلیل عدم قطعیت فرکانس طبیعی شامل چهار مرحله که به ترتیب عبارت است از: ۱- بهینه‌سازی جانمایی با لحاظ قیود، ۲- تولید خروجی‌های تصادفی با استفاده از الگوریتم بهینه‌سازی، ۳- مدل‌سازی از روی نمونه‌های تصادفی با استفاده از روش اجزای محدود و تحلیل مودال آن‌ها، ۴- استخراج ماتریس سختی و جرمی برای شبیه‌سازی مونت کارلو و به دست آوردن توزیع احتمالاتی فرکانس طبیعی

۳- استفاده از کاربرد تئوری ماتریس تصادفی ویشارت در تحلیل عدم قطعیت فرکانس طبیعی در مسئله جانمایی برای اولین بار

## تشکر و قدردانی

از پژوهشگاه فضایی ایران برای حمایت‌های مادی و معنوی برای تحقق اهداف این تحقیق قدردانی می‌کنیم.

## مراجع

- [1] Barrientos, F.A., I.Y., Turner and D.G., Ullman, *Design Teams, Complex Systems and Uncertainty*, 2007.
- [2] Malak Jr RJ and C.J. Paredis, *Modeling Design Concepts under Risk and Uncertainty Using Parameterized Efficient Sets*. SAE International Journal of Materials and Manufacturing. Vol. 1, No. 1, 2009, pp. 339-52.
- [3] Ferebee M.J. and C.L. Allen, "Optimization of Payload Placement on Arbitrary Spacecraft," *Journal of Spacecraft and Rockets*, Vol. 28, No. 5, 1991, pp. 612-4.
- [4] Boissonnat, J.D., E., de Lange and M. Teillaud, "Slicing Minkowski sums for satellite antenna layout," *Computer-Aided Design*, Vol. 30, No. 4, 1998, pp. 255-65.
- [5] Yishou, W., T. Hongfei, "Knowledge Fusion Design Method: Satellite Module Layout," *Chinese Journal of Aeronautics*, Vol. 22, No. 1, 2009, pp. 32-42.
- [6] Fakoor, M., Taghinezhad M. "Layout and Configuration Design for a Satellite with Variable Mass Using Hybrid Optimization Method," *Proceedings of the Institution of Mechanical Engineers, Part G: Journal of Aerospace Engineering*, Vol. 230, No. 2, 2016, pp. 360-77.

- Residual Magnetic Flux Density of Micro-and Nano-Satellites," *Acta Astronautica*, 2018.
- [29] Kim, J., J.C. Yoon and B.S. Kang, "Finite Element Analysis and Modeling of Structure with Bolted Joints," *Applied Mathematical Modelling*, Vol. 31, No. 5, 2007, pp. 895-911.
- [30] Adhikari, S., M.I. Friswell, K. Lonkar and A. Sarkar, "Experimental Case Studies for Uncertainty Quantification in Structural Dynamics," *Probabilistic Engineering Mechanics*, Vol. 24, No. 4, pp.473-92.
- [31] Adhikari, S., "Uncertainty Propagation in Linear Systems: an Exact Solution Using Random Matrix Theory, In 48<sup>th</sup> AIAA/ASME/ASCE/AHS/ASC Structures, Structural Dynamics, and Materials Conference, 2007 Apr, p. 1957.
- [32] Adhikari, S., A. Sarkar, "Uncertainty in Structural Dynamics: Experimental Validation of a Wishart Random Matrix Model," *Journal of Sound And Vibration*, Vol. 323, No. 3-5, 2009, pp. 802-25.
- [33] Adhikari, S., "Wishart random matrices in probabilistic structural mechanics," *Journal of engineering mechanics*, 2008, No. 134, Vol. 12, pp.1029-44.
- [34] Adhikari, S., "Generalized Wishart Distribution for Probabilistic Structural Dynamics," *Computational Mechanics*, Vol. 45, No. 5, pp. 495-511.
- [35] Ley, W., K. Wittmann and W. Hallmann, editors. *Handbook of Space Technology*, John Wiley & Sons, 2009.
- [22] Qin, Z., Y.G., Liang and J.P., Zhou, "An Optimization Tool For Satellite Equipment Layout," *Advances In Space Research*, Vol. 61, No. 1, 2018, pp. 223-34.
- [23] Jun, T. and E. Feng, *The Global Optimal Solution to the Three-Dimensional Layout Optimization Model with Behavioral Constraints*, *Journal of Applied Mathematics and Computing*, Vol. 15, No. 1-2, 2004, pp. 313-21.
- [24] Cuco, A.P., F.L. de Sousa and A. J. Neto, "A Multi-Objective Methodology for Spacecraft Equipment Layouts," *Optimization and Engineering*, Vol. 16, No. 1, 2015, pp. 165-81.
- [25] Lau, V., F. Luis de Sousa, R. Luiz and et. al., "A Multidisciplinary Design Optimization Tool for Spacecraft Equipment Layout Conception," *Journal of Aerospace Technology and Management*, Vol. 6, No. 4, 2014, pp. 431-46.
- [26] Chen, X., W. Yao, Y. Zhao, X. Chen and X. Zheng, "A Practical Satellite Layout Optimization Design Approach Based on Enhanced Finite-Circle Method," *Structural and Multidisciplinary Optimization*, Vol. 58, No. 6, 2018, pp. 2635-53.
- [27] Fakoor, M., P.M., Zadeh and H.M. Eskandari, "Developing an Optimal Layout Design of a Satellite System by Considering Natural Frequency and Attitude Control Constraints," *Aerospace Science and Technology*, Vol. 71, 2017, pp. 172-88.
- [28] Chen, X., S. Liu, T. Sheng, Y. Zhao, W. Yao. "The Satellite Layout Optimization Design Approach for Minimizing The